

마그네사이트의 赤外線 吸收 スペクト럼 解析

오 기 동

부산대 공대

(1977년 7월 26일 접수)

Analysis of the Infrared Absorption Spectrums of Magnesite

Ki-Dong Oh

College of Eng., Busan National University

(Received July 7, 1977)

ABSTRACT

The infrared absorption spectrum of Synthesized magnesite is shown in the wave number region 2510 and 745cm⁻¹. By using Wilson's GF matrices the force constants of the Urey-Bradley force field were determined from the infrared absorption frequencies. For magnesite the stretching force constant K=5.41, the bending force constant H=0.46, the repulsive force constant F=1.97, and the force constant for the out-of-plane vibration fθ=0.65md/Å. For calcite they are K=5.51, H=0.38, F=1.88 and fθ=0.64md/Å.

I. 实 验

칼사이트(CaCO_3), 마그네사이트(MgCO_3), 및 도로마이트($\text{CaCO}_3 \cdot \text{MgCO}_3$)에 대하여, 1956년 Krishnamurti¹⁾는 Raman 吸收 스펙트럼의 측정결과로 부터, 또한 1960년 Huang²⁾ 등과 1963년 Alder³⁾ 등은赤外線吸收 스펙트럼의 측정결과로 부터 同型의 碳酸鹽 사이에 吸收 带의 波數가 다르다는 것을 定性的으로 기술하였다. 또 1971년 Elderfield⁴⁾ 등은 三方晶系에 屬하는 碳酸鹽과 斜方晶系에 屬하는 碳酸鹽間에는 波長이 相異하고, 碳酸이온의 振動은 이들 碳酸鹽의 格子의 陽이온에 관계된다고 報告하였다.

本研究에서는 精密하게 決定된 마그네사이트의 C-O 原子間距離⁵⁾를 利用해서 마그네사이트의 赤外線吸收 스펙트럼 解析을 行하여, 마그네사이트의 CO_3 이온의 한의 常數를 求하였다. 또한 CO_3 이온의 基準振動에 대하여 검討하였다.

2. 实验 방법

实验에 사용된 赤外線吸收 스펙트럼 측정기는 JAS-

CO IR-G 型이다. 合成마그네사이트 시료를 약 300mesh로 微粉碎하고 이 시료중에서 약 1~2mg의 평균시료를 採取하여 약 400mg의 KBr 시약을 혼합한 후 13mmφ × 1mm의 Disk形으로 성형 하였다. 이때의 成形압력은 약 800kg/cm² 이었고, 成形한 시편은 데시케터 속에 방치한 후 시료로 사용 하였다.

3. 实验 결과

3-1. 赤外線吸收 스펙트럼

合成마그네사이트와 天然마그네사이트의 赤外線吸收 스펙트럼을 측정한 결과를 Fig. 1에 표시하였다. 1440, 880 및 745cm⁻¹의 위치에 각각 ν_3 , ν_2 및 ν_4 의 CO_3 이온의 吸收 带가 나타나 있다. 이것은 1960년 Huang 등이 報告한 마그네사이트의 吸收 带의 位置와一致하고 있다. 또 合成마그네사이트와 天然마그네사이트의 吸收 带의 位置가 서로 符合되고 있다.

3-2. CO_3 이온의 振動 mode

마그네사이트의 CO_3 이온의 振動 mode를 Fig. 2에 표시하였다. Fig. 2에서 ν_1 mode는 對稱振動으로 Raman活性, 赤外線不活性이기 때문에 赤外線으로는

實測 할수 없다. ν_2 mode는 紙面의 上下로 振動 한다. 힘의 常數 θ 가 크면 C軸 方向으로 산소원자의 電子雲이 펼쳐진다. ν_3 mode는 2重縮重種으로 伸縮을 나타낸것이며, 힘의 常數 K가 크면 산소원자의 電子雲을 a軸 方向으로 펼친다. ν_4 mode도 2重縮重種으로 變角을 나타낸다. 힘의 常數 H가 크면 CO₃面內에서 a軸에 垂直인 방향으로 電子雲이 펼쳐진다. 反發力이 크면 산소원자의 電子雲을 a軸 方向과 CO₃面內에서 a軸에 垂直인 방향 즉 2 방향으로 電子雲을 펼친다.

ν_1 과 ν_2 , ν_3 와 ν_4 는 각각 組로 되어 있다. ν_1 과 ν_2 의 G行列要素는 120°의 極限에서 零으로 되어 계산을 行할수 없기 때문에 面外振動으로 移行 된다. 그러므로 CO₃面의 外側으로 산소원자가 움직인다고 취급 하였다. 面外振動의 힘의 常數는 Fig. 1의 波數를 사용하여 계산하였다. 그 결과를 Table 1에 표시 하였다.

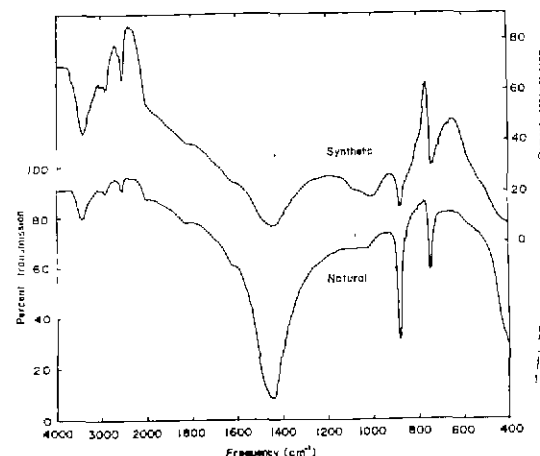
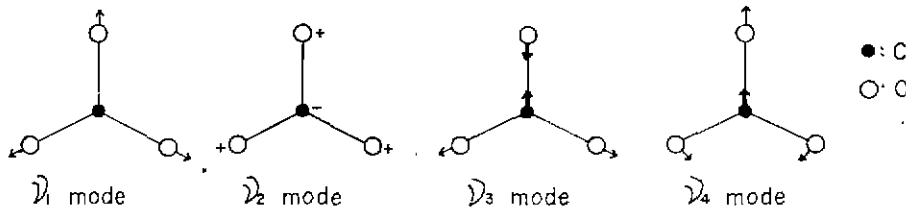


Fig. 1. Infrared Spectra of Magnesite.

Fig. 2 Normal Mode of Vibration for the CO₃ ion in Magnesite.

ν_3 과 ν_4 는 힘의 常數가 달라짐에 따라 兩者 的 波數가 變한다. 따라서 마그네사이트에서 CO₃ 이온의 힘의 常數를 求할 수 있다.

Fig. 1의 赤外線吸收 스펙트럼의 吸收帶의 波數와 C-O 原子間거리 1.283Å 으로 부터 Urey-Bradley의 force field 의 힘의 常數는 Wilson의 GF matrix 를 사용하여 계산하였다.

Table 1. Summary of Infrared Analyses.

Interatomic distance(Å)	Magnesite		Calcite	
C-O	1.283		1.283	
Force constant(md/Å)				
Stretching (K)	5.41		5.51	
Bending (H)	0.46		0.38	
Repulsive (F)	1.97		1.88	
Out of plane(fθ) vibration	0.65		0.64	
Absorption band(cm⁻¹)	Calc	Obs	Calc	Obs
ν_1 (Raman)	—	1969*	—	1087*
ν_2	—	880	—	877+
ν_3	1440	1440	1435	1435+
ν_4	745	745	713	713+

* D. Krishnamurti; + C. K. Huang and P. F. Kerr.

G行列은

$$G = U_g U' \quad (1)$$

여기서 U는 對稱座標의 係數로 形成되는 行列, U'는 U의 轉置行列, g는 이온의 內部座標로 부터 얻어지는 運動에너지 行列이다.

F行列은

$$F = U_f U' \quad (2)$$

여기서 U와 U'는 G行列의 경우와 같고 f는 힘의 常數에 의해서 形成된 位置에너지 行列이다. G와 F行列을 含有한 다음의 固有方程式으로 부터 λ를 求할 수 있다.

$$|GF - E\lambda| = 0 \quad (3)$$

여기서 E는 單位行列이고 λ는 基準振動 mode에 대한 周波數의 Eigen value이다. 이 λ가 赤外線 吸收帶의 波數와 一致하면 힘의 常數를 求하게 된다.

G와 F 行列要素는 다음의 關係式으로 계산 된다.

G行列要素(運動 에너지)는

$$G_{11} = \mu_{(e)} + \mu_{(o)} - \mu_{(e)} \cos \alpha \quad (4)$$

$$G_{12} = \frac{-2\mu_{(e)}}{r} \cdot \frac{\cos \alpha (1 - \cos \alpha)}{\sin \alpha} + \frac{\mu_{(e)}}{r} \cdot \sin \alpha \quad (5)$$

$$G_{22} = \frac{2}{r^2} (\mu_{(e)} + \mu_{(o)} (1 - \cos \alpha)) \quad (6)$$

으 기 풍

$$-\left[\frac{\mu_{(O)}}{r^2} \cdot \frac{\cos\alpha}{1+\cos\alpha} + \frac{\mu_{(C)}}{r^2} \cdot \frac{(1+3\cos\alpha)(1-\cos\alpha)}{1+\cos\alpha} \right] \quad (6)$$

여기서 $\mu_{(O)}$, $\mu_{(C)}$ 는 산소 및 탄소원자 질량의 역수이고 r 는 C-O 원자간의 결합거리이다. α 는 CO_3 가 3회 회전축 관계이므로 120° 이다.

F行列要素(位置에너지)는

$$F_{11}=K+\left[\sin^2 \frac{\alpha}{2}-(0.3)\cos^2 \frac{\alpha}{2}\right] F \quad (7)$$

$$F_{12}=-(0.9)r \cdot F \cdot \sin \frac{\alpha}{2} \cdot \cos \frac{\alpha}{2} \quad (8)$$

$$F_{22}=r^2\left[H+F\left(\cos^2 \frac{\alpha}{2}+(0.1)\sin^2 \frac{\alpha}{2}\right)\right] \quad (9)$$

여기서 K, H 및 F는 Urey-Bradley⁷⁾의 force field의 힘의常數이다. CO_3 이온에 대하여 K는 C-O 간의伸縮力의常數이고, H는 O-C-O 간의 bending force의常數이고, F는 2개의 산소원자 O...O 간의反撥力의常數이다. 힘의常數를 여러가지로 변화 시키면서固有方程式을 풀고 Jacobian matrix를 사용하여 힘의常數 $K=5.41$, $H=0.46$ 및 $F=1.97 \text{md}/\text{\AA}$ 을 얻었다. 산출한波數 $\nu_3=1440$ 및 $\nu_4=745 \text{cm}^{-1}$ 는實測值와一致하였다.

마그네사이트와 비교하기 위하여 위와 같은방법으로 계산한 칼사이트의 힘의常數 $K=5.51$, $H=0.38$ 및 $F=1.88 \text{md}/\text{\AA}$ 는 Huang나 Kerr (1960)에 의해서 보고된赤外線吸收스펙트럼의 값과 Chessin (1965) 등에 의해서 보고된 C-O 결합거리를 이용하여 산출하였다. 칼사이트에 대하여 산출한波數 $\nu_3=1435$ 와 $\nu_4=71.3 \text{cm}^{-1}$ 는 보고된 값과一致하였다. 이들의 값을 Table 1에 표시하였다.

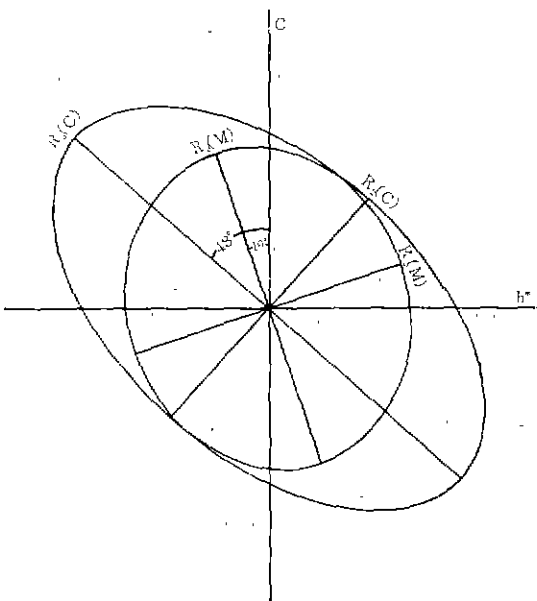


Fig. 3. Oxygen Thermal Ellipsoids of Magnesite [R(M)] and Calcite [R(C)] viewed along a-axis.

4. 고 찰

伸縮力의常數는 다른常數보다 커졌다. 位置에너지 를考慮하면 산소원자의電子雲은 a軸에垂直인 방향보다 오히려 a軸 방향으로 더制限되어 있다. 따라서 본 실험 결과에서도 CO_3 이온中의 산소원자의熱振動精圓의 a軸 방향으로壓縮되어 있다. 赤外線吸收스펙트럼 解析에 의해서 얻은熱振動精圓의形은 X線構造解析으로 얻어진回轉椭圓體(Fig. 3)와定性的으로

Table 2. Relationships between ν_4 Mode and C-O Bond Length (\AA)

	Wavelength* (μm)	C-O Bond Length (\AA) Average	References
<u>Trigonal Carbonates</u>			
Magnesite	13.40, 13.42	1.283(1)	Present study
Dolomite	13.76	1.283	Steinink
Calcite	14.08	1.283(1)	Chessin
<u>Orthorhombic Carbonates</u>			
Aragonite	14.08, 14.39 — —	1.282, 1.279(5), 1.284, 1.280(5), 1.287(3)	De Villiers Dal Negro
Strontianite	14.24, 14.34.	1.285, 1.269(10), 1.287(3)	De Villiers
Witherite	14.56	1.287, 1.282(12), 1.289(7)	De Villiers

*Wavelength: 13.42 (Magnesite); Present study
The rest of values; Elderfield

一致하고 있다.

matrix의 계산에서 중요한 因子인 마그네사이트中の C-O 결합거리와, 다른 碳酸鹽의 C-O 결합거리를 비교 검토하였다. 지금까지 構造를 解析한 碳酸鹽은 1959년 Steinfink⁸⁾等에 의한 도로마이트($\text{CaCO}_3 \cdot \text{MgCO}_3$) 1965년 Chessin 等에 의한 칼사이트(CaCO_3), 1971년 Negro等에 의한 aragonite (CaCO_3), strontianite (SrCO_3), witherite (BaCO_3)等이다. 이들의 데이터를 본 실험 결과와 함께 Table. 2에 기재하였다.

또 赤外線 吸收스펙트럼의 CO_3 이온의 ν_4 mode는 C-O 결합거리나, 금속 이온과 산소원자의 결합거리에 相關이 있다고 논의 되고 있으므로, Elderfield 等이 보고한 ν_4 mode의 波長을 함께 표시하였다. 본 실험에서 사용한 합성 마그네사이트의 波長은 $13.5\mu\text{m}$ 이고 천연 마그네사이트의 波長은 $13.4\mu\text{m}$ 인데. Elderfield 等이 보고한 값 $13.40\mu\text{m}$ 과 符合 한다.

三方晶系의 碳酸鹽인 마그네사이트, 도로마이트, 칼사이트의 C-O 결합거리는, 각각 1.283(1), 1.283, 1.283(1) \AA 로 그 값이 일치하고 있지만 ν_4 mode의 波長은 열거한 순서대로 점차로 길어지고 있다.

한편 斜方晶系의 碳酸鹽에 9配位와 11配位의 陽이온이 있고 2종류의 C-O 결합거리가 있다. aragonite의 C-O 결합거리는 Negro 等에 의하면 1.280(5)과 1.287(3) \AA 이다. Villiers¹⁰⁾等에 의하면 strontianite의 C-O 결합거리는 1.269(10)와 1.287(3) \AA , witherite는 1.282(12)와 1.289(7) \AA 이다. 이상과 같이 斜方晶系에 속하는 碳酸鹽들의 C-O 결합거리의 差는 陽이온 종류의 相違와 周波數에 相關이 있는것 같다. 즉 ν_4 mode의 波長의 变화는 C-O 결합거리가 커질수록 증가하고 있다.

5. 결 론

마그네사이트의 CO_3 이온에 대하여 그 振動의 ν_3 및 ν_4 mode를 GF 行列를 사용하여 Wilson 법에 의해서 解析하였다. 또한 赤外線 吸收帶의 波數로 부터 Urey-Bradley의 force field의 힘의 常數를 求하였다. 마그네사이트의 경우는 $K=5.41$, $H=0.46$, $F=1.97$ 및 $f\theta=0.65\text{md}/\text{\AA}$ 이고, 칼사이트의 경우는 $K=5.51$, $H=0.38$, $F=1.88$ 및 $\theta=0.64\text{md}/\text{\AA}$ 이었다.

謝 辞

본 연구를 수행하는 과정에서 적절한 助言과 教示를 하여주신 東京工業大學 工業材料研究所 教授 岩井津一博士 및 同助手 森川日出貴博士에게 깊은 謝意를 表한다. 또한 碳酸이온의 基準振動에 대하여 有益한 助言을 하여주신 東北大學理學部 教授 大森啓一博士에게 謝意를 表한다.

References

- 1) D. Krishnamurti, "Raman spectrum of magnesite", *Proc. Indian Acad. Sci.* **43A**, 210-212 (1956).
- 2) C. K. Huang and P. F. Kerr, "Infrared study of the carbonate minerals", *Amer. Mineral.* **45**, 311-324 (1960).
- 3) H. H. Alder and P. F. Kerr, "Infrared absorption frequency trends for anhydrous normal carbonates", *Amer. Mineral.* **48**, 124-137 (1963).
- 4) H. Elderfield and R. Chester, "The effect of periodicity on the infrared absorption frequency ν_4 of anhydrous normal carbonate minerals", *Amer. Mineral.* **56**, 1600-1606 (1971).
- 5) 吳基東, "마그네사이트의 결정구조에 관한 연구" 대한요업학회지, 12, 66-70 (1975).
- 6) E. B. Wilson, J. C. Decius and P. C. Cross, "Molecular vibration" McGraw-Hill (1955).
- 7) H. C. Urey and C. A. Bradley, "The vibrations of pentatonic tetrahedral molecules", *Phys. Rev.* **38**, 1969-1978 (1931).
- 8) H. Steinfink and F. T. Sans, "Refinement of the crystal structure of dolomite," *Amer. Mineral.* **44**, 679-682 (1959).
- 9) A. Dal Negro and L. Ungaretti, "Refinement of the crystal structure of aragonite." *Amer. Mineral.* **56**, 768-772 (1971).
- 10) J. P. R. De Villiers, "Crystal structure of aragonite, strontianite, and Witherite", *Amer. Mineral.* **56**, 758-767 (1971).